

Федеральное государственное бюджетное образовательное учреждение
высшего образования «Московский государственный университет имени
М.В.Ломоносова»

МЕХАНИКО-МАТЕМАТИЧЕСКИЙ ФАКУЛЬТЕТ

Кафедра Математической теории интеллектуальных систем

КУРСОВАЯ РАБОТА

TODO

Выполнил:

студент 431 группы

Зенин В. О.

Научный руководитель:

к.ф.-м.н., н.с Половников В. С.

Москва - 2023

Оглавление

Введение	4
1. Методы прогнозирования временных рядов	5
1.1. AR(p)	5
1.2. MA(q)	5
1.3. Exponential Smoothing	5
1.4. Seasonal Decomposition	5
1.5. Decision Trees	6
1.6. Neural Networks	6
Основная часть	7
1. Формальная постановка задачи	7
2. Данные	7
2.1. Предобработка	7
2.2. Формирование обучающего, валидационного и тестового множества	7
3. Методы	8
3.1. LSTM	8
3.1.1. Bidirectional LSTM	9
3.2. Transformer	9
3.2.1. Self-attention	9
3.2.2. Multi-Head Attention	11
3.2.3. Fully-Connected Layer	11
3.2.4. Positional Encoding	12
3.2.5. Encoder-only Transformer	12
4. Эксперимент	13
Список литературы	14

Введение

В настоящее время прогнозирование временных рядов является одной из наиболее актуальных задач в области анализа данных. Это связано с тем, что временные ряды могут отражать различные экономические, социальные и политические процессы, которые необходимо учитывать при принятии решений в различных сферах жизни. Существует множество методов прогнозирования временных рядов, каждый из которых имеет свои преимущества и недостатки.

Существует много временных рядов, связанных с финансами, например, цены различного рода активов. Также можно найти описание паттернов движения цены, полученные путём анализа исторических данных биржевых котировок. Многие трейдеры используют их как основание для своих стратегий. Правила, образующиеся в результате найденных закономерностей, достаточно примитивны, как и сами паттерны. Если предположить, что кем-то найдена выгодная стратегия, то подобную способны найти и многие другие участники рынка, сводя на нет любую потенциальную выгоду. Вызывает интерес: способны ли нейронные сети находить паттерны и, тем самым, определять приносящие доход стратегии торговли, скрытые от большинства трейдеров.

Информация о классических финансовых инструментах во многом скрыта и хранится на биржах. Финансовые транзакции также скрыты за межбанковским обменом и не поддаются анализу. Однако существуют набирающие популярность криптофинансовые активы, информация о которых, по своей природе, намного более открыта и может быть использована для анализа движения цены.

Цель данной работы – исследование доступной публично информации о криптовалютах, построение нескольких архитектур нейронных сетей для анализа исторических данных и построение прогноза изменения будущей цены актива на примере Bitcoin

1. Методы прогнозирования временных рядов

1.1. $AR(p)$

Одним из методов прогнозирования временных рядов является использование AR (авторегрессионных) моделей [1]. AR модели позволяют учитывать прошлые значения временного ряда для предсказания его будущих значений. Авторегрессионный процесс задается следующим образом:

$$X_t = \beta_0 + \sum_{i=1}^p \beta_i X_{t-i} + \varepsilon_t,$$

где X_t – будущее значение, которое необходимо предсказать, β_i – параметры модели, p – порядок модели, независимые одинаково распределенные случайные величины $\varepsilon_t \sim N(0, 1)$.

1.2. $MA(q)$

Также широко распространён метод скользящего среднего (Moving Average, MA). Этот метод основан на усреднении значений временного ряда за определенный период времени. Модель скользящего среднего q -го порядка определяется как

$$X_t = \sum_{i=0}^q \beta_i \varepsilon_{t-i}$$

1.3. *Exponential Smoothing*

Для усреднения временного ряда кроме скользящего среднего можно использовать экспоненциальное сглаживание. Таким образом получается следующая модель [2]:

$$S_t = \begin{cases} C_t, & t = 1 \\ C_{t-1} + \alpha \cdot (C_t - S_{t-1}), & t > 1 \end{cases},$$

где S_t – сглаженный ряд, C_t – исходный ряд, α – коэффициент сглаживания, $\alpha > 0$ и обычно не превосходит 1 или 2.

1.4. *Seasonal Decomposition*

Для рядов с выраженной сезонностью существует метод сезонной декомпозиции – он позволяет выделить сезонные компоненты из общего ряда, что даёт возможность прогнозировать поведение временного ряда в зависимости от сезонных факторов. В данном методе временной ряд делится на две составляющие: сезонную и трендовую. Сезонная составляющая представляет собой повторяющиеся колебания, связанные с сезонными факторами (например, сезонность продаж в розничной торговле). Трендовая составляющая отражает общую тенденцию развития ряда [3], [4].

Описанные ранее классические методы могут применяться как по-отдельности, так и вместе. Из последнего вытекают комбинированные модели ARMA, ARIMA, SARIMA. В качестве

параметров необходимо задать факторы, которые будет использовать модель, например: значения временного ряда из прошлого, размер окна скользящего среднего, сдвиг для сезонности (необходимо чтобы заданные факторы находились в одном и том же сезонном промежутке). Коэффициенты при заданных факторах вычисляются по методу наименьших квадратов [5].

1.5. *Decision Trees*

Хорошо зарекомендовали себя методы на основе деревьев решений. Одним из преимуществ деревьев решений является их способность обрабатывать большие объемы данных и находить сложные зависимости между признаками и целевым значением. Они также могут быть легко интерпретированы и объяснены, что делает их полезными для задач прогнозирования временных рядов. Например, если имеются данные о продажах товаров в магазине за последние несколько лет, то можно использовать деревья решений для прогнозирования будущих продаж. Мы можем определить признаки, такие как цена товара, сезонность, количество конкурентов в районе и т.д., и использовать их для создания дерева решений. Каждый узел дерева будет принимать решение на основе значения признака, и на выходе получится прогноз будущих продаж.

Для алгоритмов на основе деревьев решений часто используется градиентный бустинг. Данный подход может быть описан следующим образом: построенное дерево имеет некоторую ошибку в своих предсказаниях, при наличии дифференцируемой функции ошибки можно определить поправочные значения, уменьшающие ошибку (градиент) и затем построить новое дерево, цель которого предсказать поправочные значения. Повторяя данную процедуру множество раз строится последовательность деревьев, в которой каждое новое дерево уточняет результат всех предыдущих [6].

Деревья решений не имеют представления о временной зависимости между наблюдениями. Чтобы сообщить им эту информацию необходимо закодировать время в признаках. Например, год, месяц, день недели, информация был ли день выходным или праздником – всё это может быть частью признаков, по которым будет строиться прогноз. Однако целевой признак, например такой как цена актива или величина продаж не должны включаться. В этом основное отличие от классических моделей, которые предсказывают целевую переменную основываясь на её же значениях в исторических данных.

1.6. *Neural Networks*

Также существуют различные подходы на основе нейронных сетей, которые могут использоваться для работы с изменяющимися во времени данными. В процессе своего обучения они способны извлекать сложные нелинейные зависимости из данных и генерировать своё предсказание, основываясь на этом.

В данной работе основное внимание сосредоточено на архитектурах LSTM и Transformer.

Основная часть

1. Формальная постановка задачи

Пусть дан состоящий из T наблюдений временной ряд $X = \{x_t : x_t \in \mathbb{R}^{n+1}\}_{t=1}^T$. Выделим из x_t вектор признаков \vec{x}_t и целевое значение y_t , таким образом, что $\forall t \in \{1, \dots, T\} \exists (\vec{x}_t, y_t)$, где $\vec{x}_t \in \mathbb{R}^n$, $y_t \in \mathbb{R}$. Сформируем пары $(X_{[m;t]}, Y_t)$, где $X_{[m;t]} = \{\vec{x}_{t-m}\}_{j=t-m}^{t-1}$ – подпоследовательность фиксированной длины m , Y_t – значение целевого признака. Для задачи регрессии можно положить $Y_t = y_t$, для задачи классификации $Y_t \in \{0, \dots, K\}$, где K – количество классов, на которые можно разбить y_t . Требуется построить и оценить качество модели, принимающей на вход последовательность векторов $X_{[m;t]}$ и возвращающей значение Y_t .

2. Данные

В данной работе использованы дневные наблюдения о состоянии блокчейн сети Bitcoin с 10 мая 2020 года по 8 мая 2023 года, полученные с blockchain.com. Некоторые базовые признаки также вычислены заранее поставщиком данных. Их описания собраны в таблице 1.¹

2.1. Предобработка

При работе с ценой актива часто используется логарифм цены,

$$\ln \left(\frac{x_t}{x_{t-1}} \right)$$

позволяющий перейти от абсолютных значений к относительным. Смысл данного преобразования заключается в том, что успешная стратегия приносит доход в результате изменения цен, умноженных на вложенный капитал и именно доход имеет ключевое значение.

Входные данные для нейронных сетей следует скалировать. Однако некоторые признаки в наших данных имеют количественную природу, что выражается в почти линейном росте. Например, абсолютное значение добытых на момент времени t монет BTC. Большой смысл имеет изменение в добыче, так как оно потенциально способно дать сигнал о будущих движениях цены. Поэтому в нашем случае подобное преобразование уместно применить ко всем признакам.

До логарифмирования имелось 1094 векторов, размерности 27 каждый. В результате преобразования наблюдение за первый день вырождается и остается 1093 вектора значений.

2.2. Формирование обучающего, валидационного и тестового множества

Для обучения использовались значения до 15 июня 2022 года. Для валидации – с 15 июня 2022 года по 20 января 2023 года. Для теста – с 20 января 2023 года по 8 мая 2023 года. Данные временные диапазоны выбраны чтобы обеспечить соотношение 70:20:10.

¹Признаки, отмеченные (*) имеют не более 3 пропущенных значений, которые восстановлены линейной интерполяцией.

Целевой признак – market-price.

Сформируем из данных пары $(X_{[m;t]}, Y_t)$. Y_t – значение целевого признака. Для задачи регрессии $Y_t = y_t$, где y_t логарифм цены. Для задачи классификации $Y_t = \begin{cases} 1, y_t > 0 \\ 0, y_t \leq 0 \end{cases}$

$X_{[m;t]}$ подаётся на вход модели, предсказание которой сравнивается с Y_t используя разумную для решаемой задачи функцию потерь.

3. Методы

3.1. LSTM

LSTM (Long Short-Term Memory) - это тип рекуррентной нейронной сети, который используется для обработки последовательных данных, таких как текст, речь и временные ряды. LSTM-сети состоят из ячеек памяти, схема которой представлена на рисунке 1, которые хранят информацию о предыдущих значениях входных данных. Каждая ячейка имеет несколько состояний, которые изменяются в зависимости от входных данных и предыдущих состояний. Принцип работы LSTM состоит в том, чтобы сохранять информацию о предыдущем состоянии ячейки и использовать эту информацию для принятия решения о текущем состоянии ячейки. Это позволяет LSTM-сетям обрабатывать длинные последовательности данных и учитывать контекст [8].

Входной блок принимает на вход данные из предыдущей ячейки и передает их в блок памяти и выходной блок. Блок памяти хранит информацию о предыдущих данных и может использовать эту информацию для прогнозирования следующего значения. Выходной блок вычисляет прогнозное значение на основе информации из блока памяти и входного блока.

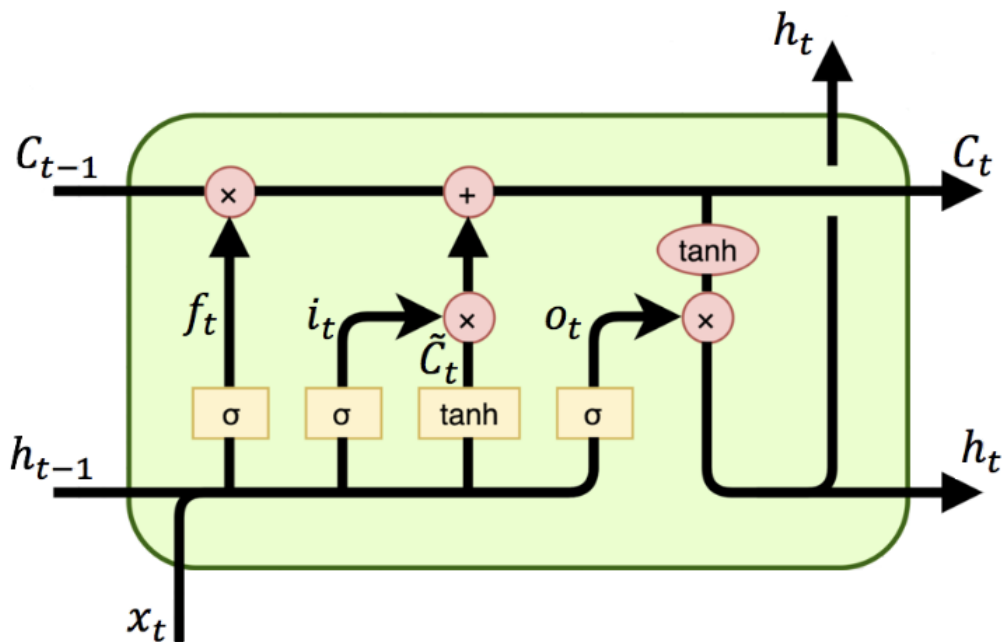


Рис. 1: Схема LSTM-ячейки

Формулы для вычисления значений в LSTM ячейке могут быть следующими:

$$f_t = \sigma(W_f \cdot [h_{t-1}, x_t] + b_f)$$

$$i_t = \sigma(W_i \cdot [h_{t-1}, x_t] + b_i)$$

$$o_t = \sigma(W_o \cdot [h_{t-1}, x_t] + b_o)$$

$$\tilde{C}_t = \tanh(W_c \cdot [h_{t-1}, x_t] + b_c)$$

$$C_t = f_t \cdot C_{t-1} + i_t \cdot \tilde{C}_t$$

$$h_t = o_t \cdot \tanh(C_t)$$

где i_t - вес входного сигнала, f_t - вес забытого сигнала, o_t - вес выходного сигнала, c_t - значение ячейки памяти, h_t - прогнозируемое значение. W - матрица весов ячейки, b вектор сдвига. W в формулах являются различными частями этой матрицы, конкатенация векторов $[\cdot, \cdot]$ позволяет оптимизировать вычисления.

3.1.1 Bidirectional LSTM

Bidirectional LSTM - это разновидность рекуррентной нейронной сети, которая также используется для обработки последовательностей данных. Принцип работы этой сети основан на использовании двух LSTM-слоев: прямого и обратного. Прямой LSTM слой обрабатывает последовательность с начала до конца, а обратный LSTM слой - в обратном порядке. Затем результаты от обоих слоев объединяются, чтобы получить более точную оценку для каждого элемента последовательности [9].

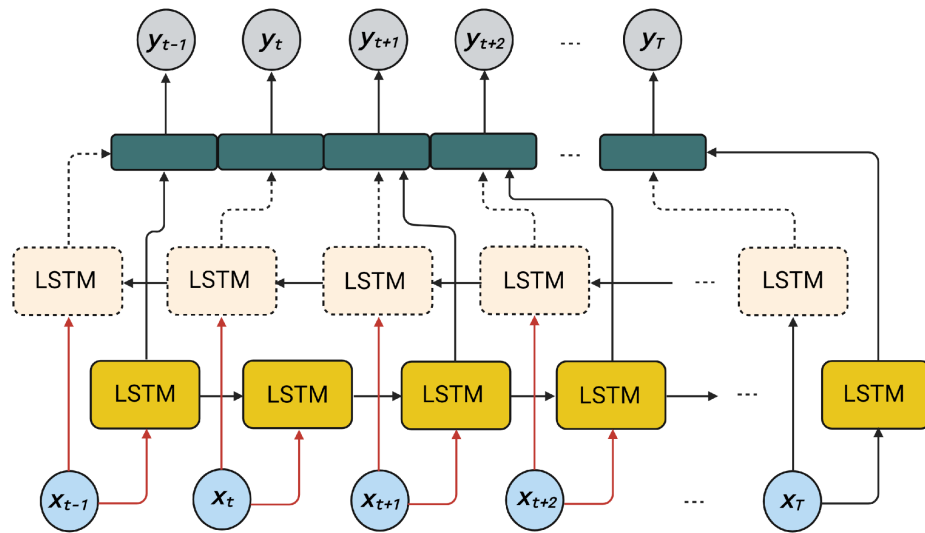


Рис. 2: Схема двунаправленной рекуррентной сети на основе ячейки LSTM

3.2. Transformer

3.2.1 Self-attention

Модель извлекает из входных данных информацию при помощи механизма внутреннего внимания (self-attention) и использует ее для формирования выходных данных.

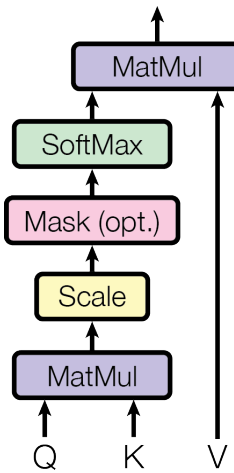


Рис. 3: Scaled Dot-Product Attention [10]

Пусть в качестве функции внимания используется скалярное произведение

$$\vec{q} \cdot \vec{k} = \sum_{i=1}^{d_k} q_i k_i$$

Обозначим за $Q = K = V$ матрицы, в строках которых записаны векторы входной последовательности, каждый вектор имеет размерность d_k . Тогда принцип работы self-attention можно описать следующим образом:

1. Создание матрицы внимания: Матрица внимания представляет собой квадратную матрицу размерности N , где N - количество элементов входной последовательности. Для её создания необходимо вычислить скалярное произведение между каждым элементом входного вектора и всеми остальными элементами

$$QK^T$$

2. Нормализация: Сумма всех значений в каждом столбце матрицы внимания должна быть равна 1, чтобы сохранить сумму всех значений в данных неизменной. Это достигается путем нормализации матрицы внимания с использованием softmax функции. Также перед применением softmax имеет смысл поделить все значения матрицы на $\sqrt{d_k}$. Это помогает компенсировать негативный эффект от проклятия размерности.

$$\text{softmax}\left(\frac{QK^T}{\sqrt{d_k}}\right)$$

3. Умножение на веса: Каждый элемент матрицы представляет собой вес, в некоторой мере отражающий схожесть между векторами входной последовательности. Теперь необходимо вычислить взвешенную сумму

$$\text{softmax}\left(\frac{QK^T}{\sqrt{d_k}}\right) \cdot V$$

3.2.2 Multi-Head Attention

Возможности данной операции расширяются использованием механизма множественного внимания, который, в свою очередь, позволяет модели применить внутреннее внимание несколько раз на разные части входной последовательности, тем самым получая возможность извлечь больше полезной информации. Реализуется это следующим образом:

1. Входные данные проецируются в векторы меньшей размерности независимыми линейными слоями.
2. Каждый полученный вектор проходит через свой self-attention. Данная часть называется ‘головой’ (head).
3. Результирующие векторы объединяются путём конкатенации.

В общем случае размерности векторов после проекции должны быть равными, то есть изначальная размерность вектора признаков должна быть кратна количеству голов h .

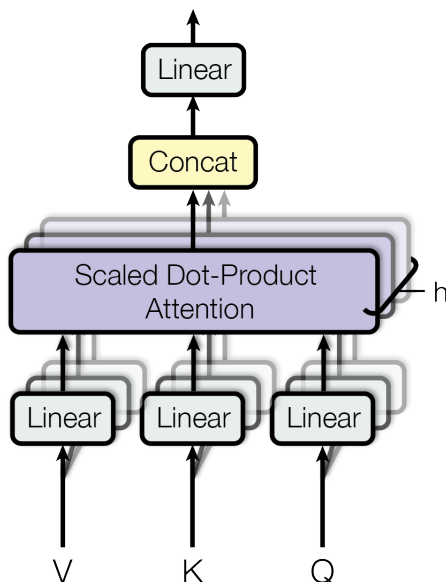


Рис. 4: Multi-Head attention [10]

3.2.3 Fully-Connected Layer

Полученный после прохождения блока множественного внимания вектор поступает на полносвязный слой размерности d_{hid} с функцией активации $ReLU$. После чего процедура может повторяться многократно, образуя слои энкодера. Результирующий вектор может быть использован для решения различных задач.

3.2.4 Positional Encoding

Описанная архитектура никак не использует информацию о последовательности подаваемых на вход векторов. В таких задачах как обработка текста или временного ряда необходимо сообщить информацию о позиционной или временной зависимости в данных. Это можно сделать используя следующее преобразование

$$PE_{(pos, 2i)} = \sin(pos/10000^{2i/d_{model}})$$

$$PE_{(pos, 2i+1)} = \cos(pos/10000^{2i/d_{model}})$$

d_{model} – размерность входных данных, с которой работает трансформер. Часто чтобы обеспечить её достаточно отобразить линейным слоем настоящие векторы и получить их эмбединги соответствующей размерности. Тогда компоненты $PE_{(pos)}$ прибавляются к компонентам входных векторов x_{pos} .

3.2.5 Encoder-only Transformer

Encoder-only Transformer (EOT) – это разновидность Transformer, который использует только блок энкодера для генерации выходных данных. Поскольку модель не имеет декодера, ее задача заключается только в преобразовании входных данных в выходные, а не в авторегрессионном генерировании выходной последовательности.

4. Эксперимент

Список литературы

- [1] James D. Hamilton. Time Series Analysis and Forecasting. Princeton University Press, 1994.
- [2] Everette S. Gardner. Exponential smoothing: The state of the art. 01 Jan 1985-Journal of Forecasting (John Wiley & Sons, Ltd.)-Vol. 4, Iss: 1, pp 1-28
- [3] Lovell, Michael C. Seasonal Adjustment of Economic Time Series and Multiple Regression Analysis. Journal of the American Statistical Association, vol. 58, no. 304, 1963, pp. 993-1010.
- [4] Robert Alan Yaffee, Monnie McGee. Introduction to Time Series Analysis and Forecasting: With Applications of SAS and SPSS. Academic press, 2000
- [5] Hyndman, R.J., & Athanasopoulos, G. (2021) Forecasting: principles and practice, 3rd edition, OTexts: Melbourne, Australia.
- [6] Panarese, A.; Settanni, G.; Vitti, V.; Galiano, A. Developing and Preliminary Testing of a Machine Learning-Based Platform for Sales Forecasting Using a Gradient Boosting Approach. Appl. Sci. 2022, 12, 11054.
- [7] U Thissen, R van Brakel, A.P de Weijer, W.J Melssen, L.M.C Buydens. Using support vector machines for time series prediction. Chemometrics and Intelligent Laboratory Systems, Vol. 69, Iss: 1-2, 2003, pp 35-49.
- [8] Sepp Hochreiter and Jürgen Schmidhuber. 1997. Long Short-Term Memory. Neural Comput. 9, 8 (November 15, 1997), 1735-1780.
- [9] Schuster, Mike & Paliwal, Kuldeep. (1997). Bidirectional recurrent neural networks. Signal Processing, IEEE Transactions on. 45. 2673 - 2681.
- [10] Ashish Vaswani, Noam Shazeer, Niki Parmar, Jakob Uszkoreit, Llion Jones, Aidan N Gomez, Łukasz Kaiser, and Illia Polosukhin. Attention is all you need. In NeurIPS, 2017.

Таблица 1: Признаки из блокчейн сети Bitcoin

Признак	Описание
total-bitcoins (*)	Количество добытых монет
market-price	Средняя цена в USD на крупнейших обменниках
trade-volume	Объем обменянных BTC (USD)
blocks-size	Размер сети блокчейна (MB)
avg-block-size	Средний размер блока (MB)
n-transactions-total	Количество транзакций
n-transactions-per-block	Среднее число транзакций на блок
n-payments-per-block	Среднее число наград за валидированный блок
median-confirmation-time	Медианное время, за которое обработанная транзакция добавляется к сети
avg-confirmation-time	Среднее время, за которое обработанная транзакция добавляется к сети
hash-rate	Мощность сети
difficulty	Относительная мера сложности сети – насколько трудно валидировать очередной блок
transaction-fees	Выплаченные BTC за валидацию блоков
transaction-fees-usd	Выплаченные USD за валидацию блоков
fees-usd-per-transaction	Средняя выплата в USD за валидированную транзакцию
cost-per-transaction	Общий доход майнеров, разделённый на количество транзакций
n-unique-addresses (*)	Количество уникальных адресов, используемых в сети
n-transactions	Количество подтверждённых транзакций за день
n-payments	Количество подтверждённых выплат за день
mempool-count	Количество неподтверждённых транзакций
mempool-growth	Рост хранилища неподтверждённых транзакций
mempool-size	Размер хранилища неподтверждённых транзакций
n-transactions-excluding-popular	Количество транзакций, за исключением 100 самых популярных адресов
estimated-transaction-volume (*)	Оценочная стоимость транзакций (BTC)
estimated-transaction-volume-usd (*)	Оценочная стоимость транзакций (USD)